

ردیابی و فقی اهداف متحرک هوایی بر اساس اطلاعات رنگ با استفاده از الگوریتم صافی ذره

عقیل عیری^{۱*}، محمد رضا محزون^۲

۱- دانشجوی کارشناسی ارشد دانشگاه جامع امام حسین^(ع) ۲- استادیار دانشگاه جامع امام حسین^(ع)

(دریافت: ۹۲/۰۷/۰۵، پذیرش: ۹۲/۱۱/۲۳)

چکیده

در این مقاله با استفاده از صافی ذره و بهره‌گیری از اطلاعات رنگ اهداف، روشی به منظور ردیابی اهداف متحرک هوایی ارائه شده است. تعیین تعداد مراحل بازنمونه برداری در الگوریتم فیلتر ذره از عوامل مهم تاثیرگذار در مدت زمان پردازش هر فریم می‌باشد. در مقاله حاضر با تعیین شعاع کرنل گوسی متناسب با ابعاد هدف، این مراحل در هر فریم به صورت وفقی تعیین شده که منجر به کاهش زمان پردازش تاحدود یک-پنجم شده است. با تخمین چگالی کرنل، هیستوگرام وزن دارشده مولفه‌های رنگی مدل هدف به دست آمده و بالحط نمودن واریانس یک نویز تصادفی در محل حاضر، موقعیت ذرات کاندید در فریم بعد پیشگویی می‌شوند. همچنین هیستوگرام وزن دارشده مولفه‌های رنگی این ذرات کاندید با همان چگالی کرنل، به عنوان مدل ذرات کاندید با مدل هدف مقایسه شده و توسط فاصله باتاچاریا، ذرات کاندید وزن دار می‌گردند. الگوریتم بازنمونه برداری با تعداد مراحل وفقی، موقعیت هدف را در فریم بعدی تخمین می‌زند. سرانجام شعاع کرنل با لبه‌یابی، بر تغییرات مدل هدف منطبق می‌شود.

واژه‌های کلیدی: بازنمونه برداری، فاصله باتاچاریا، صافی ذره، هیستوگرام وزن دار شده، کرنل گوسی

تخمین برای سامانه‌های خطی با نویز گوسی، بر پایه الگوریتم صافی کالمون بیان می‌گردد و برای سامانه‌های غیرخطی با نویز گوسی، سامانه قبل از به کارگیری صافی کالمون^۱ باید با بسط تیلور مرتبه اول حول بهترین تخمین موجود، خطی شود که این خطی سازی نزدیک حالت تخمین‌زده، انجام می‌گیرد و تحت الگوریتم صافی کالمون پیشرفت^۲ (EKF) بیان می‌گردد[۱]. اما برای سیستم‌های غیرخطی به ویژه اگر توزیع نویز نیز غیرگوسی باشد، به جای خطی کردن سامانه جهت استفاده از صافی کالمون، مسئله تخمین را می‌توان به صورت مستقیم نیز انجام داد و تابع توزیع چگالی احتمال را به صورت عددی و شمارشی بدست آورد.

امروزه با رشد روش‌ها و شیوه‌های آماری، مسئله تخمین یک پارامتر یا حالت یک سامانه غیرخطی تصادفی در کنار مشاهدات و اندازه‌گیری‌های نویزی، توسط تکنیک تخمین مونت کارلو^۳ برای مسائل پیچیده آماری انجام می‌گیرد که در قالب الگوریتم صافی ذره^۴ (PF) بیان می‌گردد[۲].

۱. مقدمه

امروزه تلاش‌های وسیعی در زمینه تشخیص و ردیابی اجسام متحرک از طریق پردازش تصویر صورت پذیرفته است و الگوریتم‌های متنوعی نیز در این زمینه طراحی و به صورت سخت‌افزاری با استفاده از DSP و FPGA پیاده‌سازی شده‌اند [۱]. با توجه به نوع عملیات و میزان اهمیت دقت و سرعت و ... الگوریتم مناسب انتخاب می‌گردد. ردیابی اهداف بر اساس تعیین موقعیت جسم در فریم‌های متوالی تصویر انجام می‌پذیرد. برای ردیابی بلادرنگ اجسام متحرک مانوری همچنین جهت کاهش نویز، از روش‌های بازگشتی تخمین بیزین استفاده می‌گردد.

تکنیک‌های تخمین اغلب بر اساس الگوی فیشر یا الگوی بیزین بیان می‌گردد[۱]. در الگوی بیز، پارامتر مجھول تغییر تصادفی دارد و حال آنکه در الگوی فیشر، پارامتر مجھول ثابت می‌باشد. دیدگاه تئوری بیز در تعیین موقعیت و ردیابی اجسام متحرک، بر اساس تخمین از یک معادله بازگشتی می‌باشد.

1- Kalman Filter(KF)

2- Extended Kalman Filter(EKF)

3- Monte Carlo

4- Particle Filter(PF)

* رایانه نویسنده پاسخگو: g9111645208@ihu.ac.ir

$$f(x_k) \approx f(\hat{x}_{k|k}) + F_k(x_k - \hat{x}_{k|k}), \quad (3)$$

$$F_k^T = \nabla_x f^T(x)|_{x=\hat{x}_{k|k}}$$

$$h(x_k) \approx h(\hat{x}_{k|k}) + H_k(x_k - \hat{x}_{k|k}), \quad (4)$$

$$H_k^T = \nabla_x h^T(x)|_{x=\hat{x}_{k|k-1}}$$

$$g(x_k) \approx g(\hat{x}_{k|k}) = G_k \quad (5)$$

از ترکیب این معادلات و جایگذاری در معادلات (۱) و (۲)، با یک تقریب مناسب خواهیم داشت:

$$x_{k+1} = F_k x_k + (f(\hat{x}_{k|k}) - F_k \hat{x}_{k|k}) + G_k w_k \quad (6)$$

$$z_k - (h(\hat{x}_{k|k-1}) - H_k \hat{x}_{k|k-1}) = H_k x_k + e_k \quad (7)$$

که این یک مدل خطی در فضای حالت X_k می‌باشد. حال با اعمال صافی کالمون بر روی آن داریم [۱]

$$\hat{x}_{k+1|k} = F_k \hat{x}_{k|k} + (f(\hat{x}_{k|k}) - F_k \hat{x}_{k|k}) = f(\hat{x}_{k|k}) \quad (8)$$

$$\hat{x}_{k|k} = \hat{x}_{k|k-1} + K_k (z_k - h(\hat{x}_{k|k-1})) \quad (9)$$

که $P_{k|k}$ کواریانس بازگشتی و K_k بهره صافی کالمون می‌باشد. الگوریتم کلی صافی کالمون پیشرفتی در جدول ۱ بیان گردیده است [۱].

جدول ۱. الگوریتم صافی کالمون پیشرفتی (EKF) [۱]

<p>الف) بروز کردن زمان</p> $\hat{x}_{k+1 k} = f(\hat{x}_{k k})$ $P_{k+1 k} = F_k P_k F_k^T + G_k Q_k G_k^T$
<p>ب) بروز کردن محاسبات</p> $\hat{x}_{k k} = \hat{x}_{k k-1} + K_k (z_k - (h(\hat{x}_{k k-1})))$ $P_{k k} = P_{k k-1} - K_k H_k P_{k k-1}$ <p>که در آن</p> $K_k = P_{k k-1} H_k^T (H_k P_{k k-1} H_k^T + R_k)^{-1}$ $H_k^T = \nabla_x h^T(x) _{x=\hat{x}_{k k-1}}$ $F_k^T = \nabla_x f^T(x) _{x=\hat{x}_{k k}}$ $G_k^T = \nabla_x f^T(x) _{x=\hat{x}_{k k}}$

در این مقاله ابتدا دو الگوریتم تخمین‌گر EKF و PF در رديابی اجسام متحرک مانوری با حرکت‌های غیرخطی با یکدیگر مقایسه شده‌اند و میران خطاهای هر یک در رديابی سنجیده شده است. در ادامه روشی برای رديابی جسم متحرک با حرکت‌های تصادفی بر اساس الگوریتم بازنمونه‌برداری صافی ذره با استفاده از هیستوگرام وزن‌دارشده مولفه‌های رنگی جسم ارائه شده است. به این ترتیب که از یک کرنل گوسی جهت به دست آوردن مدل اولیه هدف، بر اساس هیستوگرام وزن‌دار شده سه مولفه رنگی R و G و B استفاده می‌شود. ابتکاری که در این مقاله موجب افزایش میزان دقت و کاهش زمان پردازش در بیشتر فریم‌ها شده این است که در موقعی که هدف به علت مانورهای زیاد و دور یا نزدیک شدن‌های فراوان، تغییر ابعاد می‌دهد، شعاع کرنل بر اساس یک الگوریتم مبتنی بر روش لبه‌یابی، در هر فریم به صورت وفقی بروز می‌شود. همچنین تخمین موقعیت در هر فریم نیز بر اساس یکی از مولفه‌های رنگی با بیشترین وزن صورت می‌پذیرد. در ادامه در بخش‌های جداگانه‌ای الگوریتم صافی کالمون پیشرفتی و الگوریتم صافی ذره در تخمین حالت جسم بررسی شده و تخمین چگالی کرنل و چگونگی وفقی‌سازی شعاع کرنل گوسی در بخش‌های بعدی تشریح می‌گردد و سرانجام در بخش پایانی نتیجه شبیه‌سازی‌ها بررسی می‌شوند.

۲. صافی کالمون پیشرفتی

از آنجا که در بسیاری از کاربردهای عملی موقعیت جسم به صورت غیرخطی تغییر می‌کند، استفاده از صافی کالمون به صورت مستقیم در این مسائل ممکن نیست. در صافی کالمون پیشرفتی، با استفاده از بسط تیلور مرتبه اول حول بهترین تخمین موجود، مدل‌های غیرخطی با مدل‌های خطی تقریب زده می‌شوند. در این صورت صافی کالمون، قابل استفاده بر روی سامانه خطی بدست آمده، خواهد بود [۱]. اگر X_{k+1} حالت سامانه در لحظه $k+1$ باشد، مدل حالت سامانه را به صورت:

$$x_{k+1} = f(x_k) + g(x_k)w_k \quad (1)$$

درنظر گرفته و مدل مشاهده به صورت:

$$z_k = h(x_k) + e_k \quad (2)$$

نوشته می‌شود که در آن $F(0)$ و $g(0)$ توابع انتقال هستند، w_k و e_k نیز نویز گوسی با میانگین صفر و کواریانس به ترتیب Q_k و R_k می‌باشند. اگر $\hat{X}_{k|k}$ تخمین حالت جسم در لحظه k باشد با بسط تیلور مرتبه اول حول این تخمین، با تقریب می‌توان نوشت [۱]:

که در آن $(\bar{X}_k - \hat{X}_k^i)$ نشان‌دهنده تابع دلتای دیراک در نقطه $\bar{X}_k = \hat{X}_k^i$ می‌باشد. اگر امید ریاضی تابع دلخواه $f(0)$ را نسبت به $p(X_k|Z_k)$ با نشان‌دهنده:

$$I = \int f(X_k) \cdot p(X_k|Z_k) dX_k \approx \int f(X_k) \cdot P_N(X_k|Z_k) dX_k \quad (14)$$

آنگاه تخمین مونت کارلوی انتگرال به صورت حاصل جمع مقادیر تابع $f(0)$ به ازای نمونه‌های به دست آمده، به صورت زیر خواهد بود:

$$\hat{I}_N = \frac{1}{N} \sum_{i=1}^N f(\hat{X}_k^i) \quad (15)$$

اگر نمونه‌های \hat{X}_k^i مستقل باشند آنگاه \hat{I}_N یک تخمین ناریب می‌گردد و مطابق با قانون اعداد بزرگ با I قابل تقریب خواهد بود و در صورتی که N عدد بسیار بزرگ باشد، تخمین به خوبی به سمت مقدار واقعی همگرا خواهد شد. همچنین نشان داده می‌شود که سرعت همگرایی تخمین، مستقل از واریانس و ابعاد فضای ویژگی بوده و فقط به تعداد ذرات N وابسته است، چنین خصوصیتی مهم‌ترین مزیت انتگرال‌گیری مونت کارلو نسبت به دیگر روش‌های انتگرال‌گیری عددی می‌باشد [۲].

۱.۳. نمونه‌برداری با اهمیت دنباله‌ای^۴ (SIS)

در اغلب موارد، نمونه‌برداری به صورت مستقیم از توزیع چگالی $p(x)$ در هر مرحله زمانی به دلایلی ممکن نیست، به همین دلیل به جای آن از توزیع دیگری مثل $q(x)$ که بسیار شبیه $p(x)$ است، نمونه‌برداری انجام می‌دهند و با وزن دهی صحیح به همان تخمین مونت کارلو نزدیک می‌شوند [۲]. (x_i) را توزیع پیشنهادی^۵ می‌نامند، لذا انتگرال به صورت زیر نوشته می‌شود:

$$I = \int f(x) \cdot p(x) dx = \int f(x) \cdot \frac{p(x)}{q(x)} \cdot q(x) dx \quad (16)$$

لذا تخمین مونت کارلو آن برای N نمونه مستقل مطابق با توزیع $q(x)$ به صورت زیر است:

$$\hat{I}_N = \frac{1}{N} \sum_{i=1}^N f(x_i^i) \cdot \tilde{w}(x_i^i); \quad \tilde{w}(x_i^i) = \frac{p(x_i^i)}{q(x_i^i)} \quad (17)$$

عبارت $\tilde{w}(x_i^i)$ وزن‌های با اهمیت نامیده می‌شوند.

۳. صافی ذره

الگوریتم صافی ذره بر مبنای روش‌های مونت کارلوی دنباله‌ای^۶ بوده که در آن از نمایش ذره‌ای چگالی احتمال، برای تخمین پارامترهای یک توزیع دلخواه استفاده می‌شود. صافی ذره راه حل کاملی برای تخمین بهینه حالت جسم در شرایطی که مدل سامانه غیرخطی با توزیع نویز غیرگوسی است، می‌باشد. مدل انتقال یا حرکت سامانه را با زبان احتمالاتی به صورت $p(x_k|x_{k-1})$ و مدل مشاهده و یا اندازه‌گیری سامانه با $p(z_k|z_{k-1})$ بیان می‌شود، X_k نماینده بردار حالت سامانه در حالت کنونی و Z_k نماینده مشاهده در سامانه است. معادلات بازگشته بیز از دو مرحله زیر تشکیل شده‌اند [۲]:

مرحله پیش‌بینی^۷:

$$p(x_k|z_{k-1}) = \int_{R^n} p(x_k|x_{k-1}) p(x_{k-1}|z_{k-1}) dx_{k-1} \quad (10)$$

مرحله به روز رسانی:

$$p(x_k|z_k) = \frac{p(z_k|x_k) p(x_k|z_{k-1})}{p(z_k|z_{k-1})} \quad (11)$$

$$p(z_k|z_{k-1}) = \int_{R^n} p(z_k|x_k) p(x_k|z_{k-1}) dx_k$$

روش شبیه‌سازی مونت کارلو به جای محاسبه انتگرال در تمامی نقاط، مقدار آن را با نمونه‌برداری در نقاطی که بیشترین سهم را در محاسبه انتگرال دارند، انجام می‌دهد. مبنای کار به این صورت است که برای محاسبه انتگرال

$$I = \int g(x) dx \quad (12)$$

آن را به صورت حاصل ضرب عبارت $p(x) \cdot g(x) = f(x)$ تبدیل کرده که در آن $p(x)$ نشان‌دهنده یک تابع احتمال است که شرایط $\int p(x) dx = 1$ and $p(x) \geq 0$ را برآورده می‌کند، لذا با این شرایط، I امید ریاضی تابع دلخواه $f(x)$ می‌باشد.

اگر از مدل حالت سامانه تا لحظه k که با تابع احتمال $p(z_k|z_{k-1})$ بیان می‌شود، به تعداد N ذره^۸ مستقل و هم توزیع^۹ نمونه‌برداری شود، تخمینی از این توزیع به صورت زیر تعریف می‌شود [۲]:

$$P_N(X_k|z_k) \triangleq \frac{1}{N} \sum_{i=1}^N \delta(X_k - \hat{X}_k^i) \quad (13)$$

1- Sequential Monte Carlo(SMC)

2- Prediction

3- Independent and Identically Distributed(i.i.d.)

بنابراین برای نمونهبرداری از توزیع پیشنهادی در مرحله زمانی k فقط لازم است که از توزیع $p(x_k | X_{k-1}, Z_k)$ برای $\{x_k^i\}$ نمونهبرداری شود. در این صورت توزیع پسین توان در لحظه k را به صورت زیر تقریب می‌زنند [۲].

$$p(X_k | Z_k) \approx \sum_{i=1}^N w_k^i \delta(X_k - x_k^i); \quad w_k^i = \frac{p(x_k^i | Z_k)}{q(x_k^i | X_{k-1}, Z_k)} \quad (20)$$

که در آن، w_k^i وزن‌های با اهمیت ذرات بوده است که می‌توان وزن‌ها را به صورت بازگشتی نیز بدست آورد و سپس نرمالیزه نمود [۲].

$$w_k^i = w_{k-1}^i \frac{p(z_k | x_k^i) \cdot p(x_k^i | x_{k-1}^i)}{q(x_k^i | X_{k-1}, Z_k)} \quad (21)$$

تعداد ذرات در فضای حالت باید تمامی فضا را پوشش دهد، هر چه تعداد ذرات بیشتر باشد تخمین معادله (۲۰) دقیق‌تر خواهد بود [۲].

۲.۳. توزیع پیشنهادی

موضوع اساسی در صافی‌های ذره، انتخاب توزیع پیشنهادی مناسب است، ساده‌ترین انتخاب برای این توزیع، توزیع پیشین می‌باشد [۳]، یعنی در مرحله زمانی k لازم است که از تابع چگالی احتمال انتقال نمونهبرداری شود، یعنی:

$$q(x_k^i | X_{k-1}^i, Z_k) = p(x_k^i | x_{k-1}^i) \quad (22)$$

مشکل اصلی در این روش افزایش واریانس وزن‌ها می‌باشد [۴]، چرا که پس از گذشت زمان اندکی، بیشتر نمونه‌ها وزن نرمالیزه شده نزدیک به صفر خواهند داشت و تنها یک نمونه دارای وزن بزرگی می‌باشد که از این پدیده با نام انحطاط ذرات یاد می‌شود. برای حل مشکل انحطاط، انتخاب توزیع پیشنهادی در مرحله زمانی k باید به صورتی باشد که واریانس شرطی وزن‌ها را کمینه کند. به این توزیع، توزیع پیشنهادی بهینه گفته می‌شود که از اطلاعات به دست آمده از مشاهده آخر نیز در نمونهبرداری استفاده می‌کند، این توزیع به صورت [۵].

$$q(x_k^i | X_{k-1}^i, Z_k) = p(x_k^i | z_k, x_{k-1}^i) \quad (23)$$

است و طبق معادله (۲۱) وزن‌ها برای این توزیع به صورت زیر بیان می‌شوند:

$$w_k^i = w_{k-1}^i \cdot p(z_k | x_{k-1}^i) \quad (24)$$

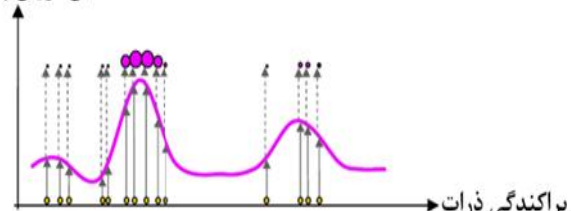
از آنجا که فاکتور نرمالیزاسیون مربوط به (x) موجود نیست، لذا وزن‌های با اهمیت به دست آمده (w^i) نرمالیزه می‌گردند و تخمین مونت کارلو به صورت زیر است [۲].

$$\hat{I}_N = \sum_{i=1}^N f(x^i) \cdot w(x^i); \quad w(x^i) = \frac{\tilde{w}(x^i)}{\sum_{j=1}^N \tilde{w}(x^j)} \quad (18)$$

در نمونهبرداری با اهمیت در هر مرحله زمانی، نمونهبرداری از توزیع (x) به همراه محاسبه وزن‌ها انجام می‌شود که حجم محاسبات زیاد می‌شود. روش نمونهبرداری با اهمیت دنباله‌ای (SIS) وزن‌های با اهمیت را به صورت بازگشتی بدست می‌آورد. ایده اصلی در این روش استفاده دوباره از نمونه‌های تولید شده در مراحل زمانی قبل، برای نمونهبرداری از تابع توزیع پسین در مرحله زمانی جدید است [۲].

شکل ۱ روش نمونه برداری با اهمیت دنباله‌ای را به صورت شماتیک نشان می‌دهد. نقاط دایره‌ای، توزیع ذرات و قطر آنها وزن ذرات را نشان می‌دهد. با فرض اینکه همه ذرات در لحظه k وزن یکسانی داشته باشند، توزیع احتمال پسین در لحظه $k+1$ با استفاده از توزیع احتمال به این ترتیب وزن ذرات در لحظه $k+1$ با استفاده از توزیع احتمال پسین در لحظه k (توزیع پیشین در لحظه $k+1$) به روز می‌گردد. لذا وزن ذرات، یعنی قطر نقاط دایره‌ای، در مکان‌هایی که مقدار تابع توزیع احتمال کوچکتر است، کمتر می‌باشد. با استخراج ذرات و وزن مربوط به آنها، تابع چگالی احتمال پسین در لحظه $k+1$ بدست می‌آید. ساختار توضیح داده شده در این قسمت که توزیع پسین توان در هر مرحله زمانی، با استفاده از نمونه‌های وزن‌دار شده توصیف می‌گردد، اساس کاری صافی‌های ذره‌ای محاسبه می‌شوند [۲].

تابع توزیع پسین

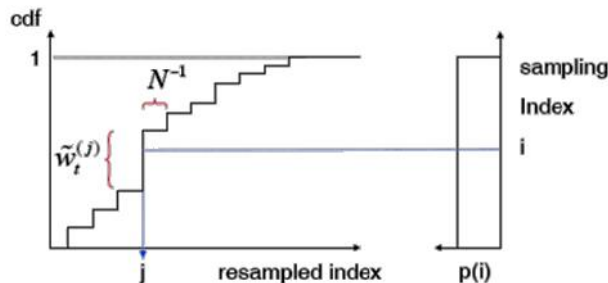


شکل ۱. نمایش روش SIS از تابع چگالی احتمال پسین [۲]

در روش نمونهبرداری با اهمیت دنباله‌ای باید بتوان تابع توزیع پیشنهادی در لحظه k را به صورت زیر تجزیه کرد:

$$q(X_k | Z_k) = q(x_k | X_{k-1}, Z_k) q(X_{k-1} | Z_{k-1}) \quad (19)$$

شکل ۳ نحوه جایگزینی وزن‌ها در مرحله SIR را نشان می‌دهد، ابتدا عددی بین صفر و یک به صورت تصادفی و با توزیع یکنواخت تولید می‌شود، با تصویر کردن آن بر روی تابع سمت چپ که تابع تجمعی وزن‌های نرمالیزه است، اندیس ذره‌ای که باید در جمعیت مرحله زمانی بعدی حضور داشته باشد به دست می‌آید. ذره‌ای که وزن بیشتر داشته باشد، احتمال انتخاب شدن بیشتری را دارد. لذا موقعیت و وزن هر ذره به میزان چگالی در آن نقطه از فضای حالت وابسته است. این روش، موقعیت هر ذره و وزن متناظرش را برای هر مشاهده به صورت بازگشتی به روز می‌کند. در پایان این مرحله یک مجموعه جدید از ذرات با موقعیت‌ها و وزن‌های جدید بدست می‌آید [۸].



شکل ۳. نحوه جایگزینی وزن‌ها در مرحله SIR [۸]

در این مقاله معیاری برای سنجش میزان انحطاط و جلوگیری از واگرایی بیان شده است که با عنوان تعداد نمونه‌های موثر^۳ معرفی می‌گردد. این معیار، به وضعیت نمونه‌ها در هر مرحله زمانی، عددی مشتبث و کوچکتر از N_{th} نسبت می‌دهد که می‌توان از آن به عنوان تعداد نمونه‌هایی که به صورت موثر توزیع هدف را تخمین می‌زنند، تعبیر کرد [۸]. تعداد نمونه‌های موثر را با \hat{N}_{eff} نشان داده و به-

صورت:

$$\hat{N}_{\text{eff}} \approx \frac{1}{\sum_{i=1}^N (w_k^i)^2} \quad (25)$$

می‌باشد. اگر تعداد نمونه‌ها از مقدار آستانه از پیش تعیین شده‌ای کمتر باشد، یعنی $\hat{N}_{\text{eff}} < N_{\text{th}}$ بازنمونه‌برداری انجام می‌پذیرد. الگوریتم کلی صافی ذره با استفاده از روش بازنمونه‌برداری مطابق با جدول ۲ بیان گردیده است [۲]. تخمین موقعیت نهایی و عدم قطعیت مکانی (واریانس) دراستفاده از الگوریتم بازنمونه‌برداری صافی ذره می‌تواند به صورت زیر محاسبه گردد [۲]:

$$\hat{x}_{k|k}^{\text{MMS}} = E(x_k | z_k) = \int x_k p(x_k | z_k) dx_k \approx \sum_{i=1}^N w_k^i \cdot x_k^i \quad (26)$$

$$p_{k|k} \approx \sum_{i=1}^N w_k^i (x_k^i - \hat{x}_{k|k}^{\text{MMS}}) (\hat{x}_{k|k}^{\text{MMS}} - x_k^i)^T \quad (27)$$

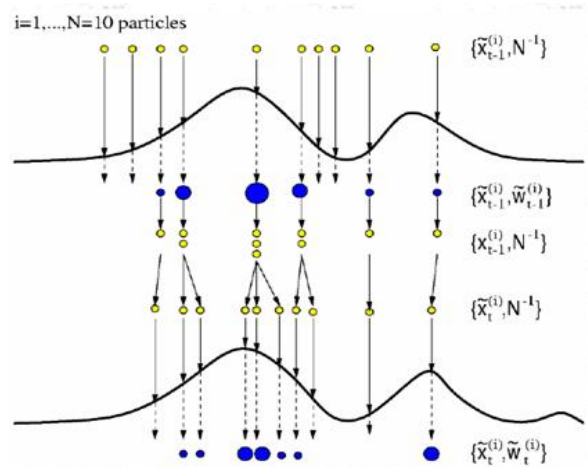
لذا وزن‌ها به نمونه‌های تولید شده در مرحله زمانی فعلی ($\tilde{w}_t^{(i)}$) وابسته نمی‌باشند و امكان موازی سازی نمونه‌برداری و محاسبه وزن‌ها در هر مرحله زمانی را میسر می‌کند [۶].

۳.۳. بازنمونه‌برداری دنباله‌ای^۱ (SIR)

بازنمونه‌برداری، روشی برای حل مشکل انحطاط از طریق صفر کردن واریانس وزن‌هاست. در مرحله بازنمونه‌برداری از میان نمونه‌های وزن‌دهی شده در انتهای یک مرحله زمانی SIS، N بار نمونه‌برداری انجام می‌شود. شناسی انتخاب شدن هر ذره به وزن آن ذره وابسته است. در نتیجه، در این مرحله زمانی نمونه‌های با وزن بیشتر چندین مرتبه کپی شده و نمونه‌هایی با وزن کمتر حذف می‌شوند. در انتهای این مرحله زمانی وزن همه نمونه‌های انتخاب شده برابر با N^1 خواهد بود.

شکل ۲ مرحله بازنمونه‌برداری را که منجر به حذف نمونه‌های با وزن کم و تمرکز روی نمونه‌های با وزن زیاد است را برای ۱۰ ذره نشان می‌دهد [۲]. به این روش که در آن از نمونه‌برداری با اهمیت دنباله‌ای، بازنمونه‌برداری می‌کند، بازنمونه‌برداری دنباله‌ای (SIR) گویند.

اگر چه SIR گامی حیاتی برای مقابله با انحطاط در صافی ذره می‌باشد، ولی مشکلاتی را نیز دارد، چراکه SIR خود تخمینی از تخمین وزن دار SIS است، در نتیجه خطای را در تخمین آن مرحله زمانی ایجاد خواهد کرد. لذا باید تا امکان دارد در SIR با احتیاط رفتار نمود [۷].



شکل ۲. نمای گرافیکی بازنمونه‌برداری N ذره [۲]

که در آن h پهنانی پنجره کرنل، پارامتر نرم کننده یا پهنانی باند نامیده می‌شود. در این مقاله از تابع کرنل گوسی به صورت معادله زیر [۱۱]:

$$g(x) = \begin{cases} \left(\frac{1}{2\pi}\exp(-x^2/2)\right) & x < 1 \\ 0 & \text{سایر} \end{cases} \quad (29)$$

استفاده شده است. این کرنل نسبت به سایر توابع دیگر، با توجه به ردبایی جسم هوایی تاثیر پس زمینه را بیشتر کاهش می‌دهد [۶].

۱.۴. مدل هدف

برای مشخص کردن مدل هدف، باید یک فضای ویژگی انتخاب شود، مدل مرجع هدف توسط تابع چگالی احتمال آن در فضای ویژگی با q نشان داده می‌شود. مدل هدف در این مقاله به صورت برداری بر اساس هیستوگرام سه مولفه رنگی RGB می‌باشد. تعداد ویژگی‌های هر مولفه رنگی با $u = 1, 2, \dots, m$ نشان داده شده و به صورت [۱۱]:

$$q = \{q_u\}_{u=1,2,\dots,m} \quad \text{And} \quad \sum_{u=1}^m q_u = 1 \quad (30)$$

بیان می‌گردد. در این مقاله، جهت اعمال اعتبار بیشتر به نقاط حول مرکز جرم، از یک کرنل گوسی استفاده شده است. این کرنل، وزن‌های کوچکتر را به پیکسل‌های دورتر از مرکز نسبت می‌دهد. استفاده از این وزن‌ها باعث مقاومت بیشتر چگالی تخمین می‌شود، چرا که پیکسل‌های دور از مرکز به خاطر پنهان شدگی‌های جزئی، شبه هدف‌ها و تداخل با زمینه، کمترین اعتبار را دارند.

هیستوگرام هر مولفه رنگی از مدل هدف با اعمال چگالی کرنل، وزن‌دار می‌شود که به آن هیستوگرام وزن‌دارشده مدل هدف گفته و به صورت:

$$q^{(u)} = f \sum_{j=1}^I g(x_j) \delta[b(x_j - u)]; \quad f = \frac{1}{\sum_{j=1}^I g(x_j)} \quad (31)$$

بیان می‌گردد. I تعداد پیکسل‌ها در محدوده مورد نظر، x_j موقعیت پیکسل‌ها و f نیز فاکتوری جهت برقراری معادله ۳۰ می‌باشد [۱۲]. شکل ۴، هیستوگرام وزن‌دارشده و نرمالیزه شده مولفه‌های R و G و B مدل هدف را نشان می‌دهد.

جدول ۲. الگوریتم صافی ذره با روش بازنمونه برداری [۲]

ورودی : نمونه‌های X_{k-1} با وزن‌های w_{k-1}^i در مرحله زمانی $k-1$	خروجی : نمونه‌های X_k^i با وزن‌های w_k^i در مرحله زمانی k
- برای تعداد N ذرات، از توزیع پیشنهادی در مرحله زمانی k نمونه برداری کنید:	$X_k^i \sim q(X_k^i X_{k-1}^i, Z_k)$
- برای تعداد N ذرات، با توجه به نوع تابع توزیع پیشنهادی وزن‌ها محاسبه کنید:	$w_k^i = w_{k-1}^i \frac{p(z_k X_k^i) \cdot p(X_k^i X_{k-1}^i)}{q(X_k^i X_{k-1}^i, Z_k)}$
- برای تعداد N ذرات، وزن‌ها را نرمالیزه کنید:	$w(X_k^i) = \frac{w_k^i}{\sum_{j=1}^N w_k^j}$
- تعداد نمونه‌های موثر را به دست آورید:	$N_{\text{eff}} \approx \frac{1}{\sum_{i=1}^N (w_k^i)^2}$
- آستانه ورود به حلقه بازنمونه برداری را تشکیل دهید (که N_{th} به طور معمول $N/2$ یا $3N/4$ می‌باشد):	$N_{\text{eff}} < N_{\text{th}}$
- یک مجموعه جدید از ذرات $\{X_k^i\}_{i=1,2,\dots,N}$ با موقعیت‌ها و وزن‌های جدید مطابق با نمای گرافیکی شکل ۳ تشکیل دهید، به طوری که احتمال انتخاب اندیس i^* به صورت زیر باشد:	$\text{prob}(X_k^{i^*} = X_k^i) = w(X_k^i)$
- برای تعداد N ذرات، وزن‌ها را $w(X_k^i) = N^{-1}$ قرار دهید.	

۴. تخمین چگالی کرنل

تخمین چگالی یک مفهوم اساسی در مباحث آمار است و به طور گسترده در الگوریتم‌های تشخیص و ردبایی مورد استفاده قرار می‌گیرد. طبق تعریف، تخمین چگالی بر اساس داده‌های مورد مشاهده، تخمین زده می‌شود. چگالی تخمین زده شده به ساختار نمونه‌ها وابسته است [۹] و یکی از عمومی‌ترین روش‌های تخمین چگالی غیر پارامتریک، روش تخمین چگالی کرنل است [۱۰]. برای یک متغیر تصادفی، تخمین چگالی کرنل به صورت زیر تعریف می‌گردد:

$$f(x) = \frac{1}{nh} \sum_{i=1}^n g\left(\frac{x - x_i}{h}\right) \quad (28)$$

۵. ضریب باتاچاریا

این ضریب میزان مشابهت دو توزیع احتمال گستته را بیان می-کند، هرچه دو توزیع شباهت بیشتری با یکدیگر داشته باشند، مقدار عددی آن به یک نزدیک می‌گردد و هر چه شباهت کمتر باشد، این ضریب به صفر میل پیدا می‌کند.تابع $\rho[p(y), q] = \sqrt{\sum_{u=1}^m p^{(u)} \times q^{(u)}}$ به عنوان تابع مشابهت میان p و q تعریف می‌شود که نقش احتمال را بازی می‌کند و بیشینه آن در ناحیه کاندید هدف، حضور هدف را در آن فریم با توجه به مشابهت با q نشان می‌دهد و به صورت [۱۲]:

$$\rho[p(y), q] = \sqrt{\sum_{u=1}^m p^{(u)} \times q^{(u)}} \quad (34)$$

تعریف می‌گردد. برای اینکه این مقادیر مختلف میان مدل هدف و مدل ذرات کاندید هدف، قابل قیاس باشند، این ضریب باید دارای یک ساختار متريک باشد، لذا از تابع فاصله باتاچاریا جهت بررسی میزان اختلاف بین دو توزیع استفاده می‌شود:

$$d(y) = \sqrt{1 - \rho[p(y), q]} \quad (35)$$

هرچه دو توزیع شباهت بیشتری با یکدیگر داشته باشند، مقدار فاصله باتاچاریا به صفر میل می‌کند [۱۲].

۶. تابع توزیع درست‌نمایی مشاهده^۱

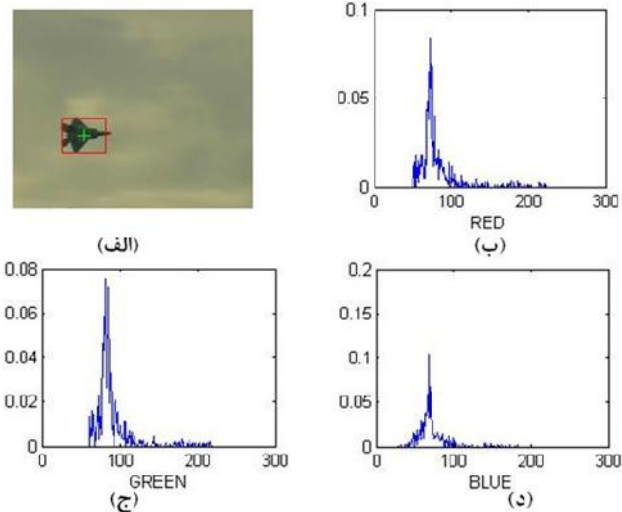
این تابع برای فرایند رده‌یابی در صافی ذره، موجب وزن دارشدن ذرات جهت ورود به مرحله بازنمونه‌برداری می‌شود و به صورت [۱۲]:

$$w^{(i)} = \frac{1}{\sqrt{2\pi}\sigma} \exp\left(-\frac{d^2}{2\sigma^2}\right) \quad (36)$$

تعریف می‌گردد. از روی فاصله باتاچاریا جایگزین شده و عددی بین صفر و یک است، σ نیز میزان واریانس درنظر گرفته شده جهت مقایسه مدل هدف با مدل کاندید می‌باشد، در شبیه سازی این مقاله 0.25 در نظر گرفته شده است [۱۲].

۷. ورقی‌سازی شعاع کرنل

هنگامی که اندازه و ابعاد هدف تغییر می‌کند، اگر شعاع کرنل که در قاب ابتدایی با توجه به ابعاد هدف تعیین شده است، بدون تغییر باقی بماند، می‌تواند موجب شکست الگوریتم گردد و یا به یک



شکل ۴. (الف) انتخاب مدل هدف (ب) هیستوگرام وزن دار شده مولفه قرمز مدل هدف (ج) هیستوگرام وزن دار شده مولفه آبی مدل هدف (د) هیستوگرام وزن دار شده مولفه آبی مدل هدف (محورافقی سطوح شدت و محور عمودی وزن نرمالیزه شده هر سطح)

۲.۴. مدل ذرات کاندید هدف

مطابق با الگوریتم صافی ذره در فریم شروع ردیابی، موقعیت N ذره پیشگویی می‌گردد و هر کدام از این ذرات به صورت تصادفی در محدوده‌ای اطراف مرکز جرم فریم قلبی هستند و هر کدام از آنها می‌توانند کاندیدی برای موقعیت جدید هدف در فریم جاری باشند. اطراف هر ذره، پنجرهایی به ابعاد پنجره کرنل محاطی بر هدف و به مرکز ذره، در نظر گرفته می‌شود. هیستوگرام وزن دار شده سه مولفه رنگی هر کدام از این پنجره ذرات همانند مدل هدف، به دست می‌آید.

اگر کاندید هدف در موقعیت y تعریف شود و تابع چگالی احتمال آن با $P(Y)$ نمایش داده شود، برای هر مولفه از ذره می‌توان نوشت [۱۳]:

$$p(y) = \{p_u(y)\}_{u=1,2,\dots,m} \quad \text{And} \quad \sum_{u=1}^m p_u(y) = 1 \quad (32)$$

با اعمال کرنلی شبیه مدل هدف، هیستوگرام وزن دار شده مدل ذرات کاندید، برای هر مولفه از ذره به صورت زیر خواهد بود و در آن I تعداد پیکسل‌ها در محدوده مورد نظر، x_i موقعیت پیکسل‌ها در آن محدوده، a تعیین کننده شعاع کرنل و f نیز فاکتوری جهت تضمین برقراری معادله (۳۲) می‌باشد [۱۳].

$$p_y^{(u)} = f \sum_{j=1}^I g\left(\frac{y - x_j}{a}\right) \delta[b(x_j - u)]; \quad f = \frac{1}{\sum_{j=1}^I g\left(\frac{y - x_j}{a}\right)} \quad (33)$$

۸. نتایج شبیه‌سازی‌ها

برای مقایسه دو تخمین‌گر EKF و PF ابتدا یک مدل غیرخطی برای حرکت حالت جسم در یک محور مختصات به صورت [۱۶]:

$$x_k = 0.5x_{k-1} + 25 \frac{x_{k-1}}{1+x_{k-1}^2} + 8 \cos(1.2k) + v_k \quad (۴۲)$$

در نظر گرفته شده است و مدل مشاهده نیز به صورت:

$$z_k = \frac{x_k^2}{20} + w_k \quad (۴۳)$$

فرض شده است، که در آن $x_k \sim N(0, \sigma^2)$ است، v_k و w_k نویزهای گوسی سفید می‌باشند و توزیع آنها به صورت $w_k \sim N(0, \sigma_w^2)$ و $v_k \sim N(0, \sigma_v^2)$ می‌باشند. در این مقاله این مقادیر به صورت، $\sigma_w^2 = 8$ و $\sigma_v^2 = 2$ در نظر گرفته شده است. همان‌طور که مشاهده می‌شود، مدل حرکت به صورت غیرخطی با یک نویز تصادفی گوسی می‌باشد و هر موقعیتی نیز توسط مدل مشاهده در مکانی خاص دیده می‌شود [۱۷]. برای استفاده از صافی کالمن پیشرفت، مقدار F_k^T از مشتق معادله حالت به صورت زیر بدست می‌آید [۱۶]:

$$F_k = 0.5 + 25 \frac{1 - x_{k-1}^2}{(1 + x_{k-1}^2)^2} \quad (۴۴)$$

و مقدار H_k^T نیز از مشتق مدل مشاهده به صورت زیر بدست می‌آید:

$$H_k = \frac{x_t}{10} \quad (۴۵)$$

با انتخاب اولیه مقادیر میانگین و واریانس، مطابق با الگوریتم جدول ۱، موقعیت جسم در مراحل زمانی بعد تخمین‌زده می‌شود. در این شبیه‌سازی مکان اولیه $x_0 = 0.1$ و واریانس اولیه $P_0 = 2$ در نظر گرفته شده است.

برای استفاده از صافی ذره، تعداد ۵۰ ذره در همان مکان $x_0 = 0.1$ مقداردهی اولیه می‌شوند. سپس یک نویز گوسی تصادفی با واریانس $\sigma = 0.1$ ، به آن اضافه می‌گردد. در هر مرحله زمانی تعداد ۸۰ مرحله زمانی در این مقاله) مکان جسم از طریق معادله (۴۲) بدست می‌آید.

موقعیت یابی ضعیف منجر شود [۱۴]. برای رفع این مشکل، روش مؤثری برای وفق دادن مستطیل احاطه کننده هدف با مقیاس جدید هدف، پیشنهاد می‌شود. این روش بر مشاهده تغییرات سریع مقدار پیکسل‌های تصویر وزن دار شده، در راستای مرزهای هدف بنا نهاده شده است. لذا چهار الگوی همبستگی C_L و C_R با ابعاد $h \times 3$ و C_T و C_B با ابعاد $3 \times w$ که موقعیت مرزهای چپ، راست، بالا و پایین را تعیین می‌کنند، مطابق شکل ۵، معرفی می‌شوند.

-2	-1	+2	+2	-1	-2	-2	+2
						-1	-2
						+2	

شکل ۵. الگوهای همبستگی (از چپ به راست) برای موقعیت‌های چپ، راست، بالا، پایین [۱۵]

و w ارتفاع و h پهنای مستطیل احاطه کننده هدف در فریم قبلی است. موقعیت اولیه مرزها X_R و Y_T در فریم ابتدایی توسط کاربر تعیین می‌گردد و موقعیت نهایی مرزها در فریم جاری به صورت [۱۵]:

$$x_L = \operatorname{argmax} C_L \Theta W_k(x, y) \quad (۴۷)$$

$$|x - x_L| \leq \lambda w, y = y_c$$

$$x_R = \operatorname{argmax} C_R \Theta W_k(x, y) \quad (۴۸)$$

$$|x - x_R| \leq \lambda w, y = y_c$$

$$y_T = \operatorname{argmax} C_T \Theta W_k(x, y) \quad (۴۹)$$

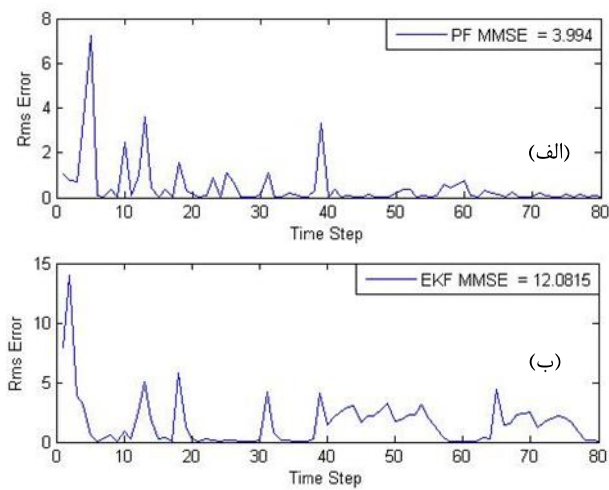
$$|y - y_T| \leq \lambda h, x = x_c$$

$$y_B = \operatorname{argmax} C_B \Theta W_k(x, y) \quad (۴۰)$$

$$|y - y_B| \leq \lambda h, x = x_c$$

$$C_I \Theta W_k(x, y) = \sum_{i=-w/2}^{+w/2} \sum_{j=-h/2}^{+h/2} C_I(i, j) \cdot W_k(x+i, y+j) \quad (۴۱)$$

که $I \in \{L, R, T, B\}$ و $w' \times h'$ نیز ارتفاع و پهنای الگوی همبستگی و $\lambda = 0.1$ می‌باشد. لذا با یافتن موقعیت‌های بالا، پایین، چپ و راست می‌توان ابعاد هدف را تعیین نمود و با داشتن پهنا و ارتفاع هدف، شعاع کرنل برای فریم بعدی به طور مناسب انتخاب می‌گردد.



شکل ۷. مقایسه متوسط خطأ در دو الگوریتم (الف) الگوریتم PF

های دورشونده و نزدیک شونده جسم، تغییرات دائم اندازه و شکل هدف و نیز تغییرات شدت پس زمینه، باید بتوان جسم را در فریم های متوالی ردیابی نمود.

شکل ۸ میزان تغییرات مدل هدف را در چند فریم به عنوان نمونه نشان می‌دهد. همان‌طور که مشاهده می‌شود، تغییرات به صورت حرکتی، زاویه‌ای، اندازه‌ای و ... بوده و الگوریتم ردیابی باید بتواند هدف را در این شرایط دنبال کند. در فریم اولیه، مدل اولیه هدف مطابق شکل ۴ بدست می‌آید و در همان فریم، ذرات N=100 در مختصات مرکز جرم هدف، مقداردهی اولیه می‌گردد. برای فریم بعدی که شروع ردیابی می‌باشد، ذرات بر اساس مختصات هدف در فریم قبلی با اعمال نویز تصادفی در واریانس مشخص پیشگویی می‌گردد.

لازم به ذکر است که واریانس با توجه به سرعت و مانور هدف متغیر بوده و تا وقتی هدف را می‌بیند، حداقل به اندازه سه برابر پنجره احاطه کننده هدف است و هنگامی که هدف را از دست می‌دهد تا ده برابر این ابعاد بزرگ شده و جستجو را ادامه می‌دهد. بنابراین هیستوگرام وزن دارشده مدل ذرات کاندید مطابق با معادله (۳۳) به دست می‌آید. فاصله باتاچاریا، میزان شباهت میان مدل هدف با تمام مدل ذرات کاندید را بررسی می‌نماید.تابع توزیع درستنمایی

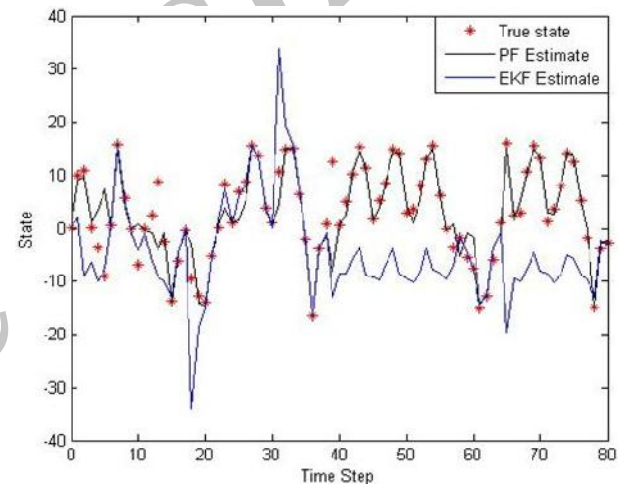


شکل ۸. تغییرات مدل هدف در چند فریم نمونه

مدل مشاهده مربوطه نیز از طریق معادله (۴۳) ترسیم می‌گردد. لذا در هر مرحله زمانی یک مکان حالت اصلی که جسم باید در آنجا باشد و یک مکان مشاهده اصلی که جسم باید در آنجا مشاهده شود، وجود دارد.

تخمین موقعیت با الگوریتم صافی ذره بسیار دقیق‌تر بوده و در مراحل زمانی که جسم تغییرات ناگهانی و مانورهای تصادفی داشته، الگوریتم صافی ذره ردیابی بهتری را در تخمین موقعیت جسم داشته است.

شکل ۶ موقعیت اصلی جسم را در مقایسه با تخمین موقعیت از طریق دو الگوریتم صافی ذره و صافی کالمن پیشرفتہ در یک نمودار برای مقایسه بهتر نمایش می‌دهد.



شکل ۶. مقایسه مکان اصلی جسم با تخمین موقعیت از طریق دو الگوریتم PF و EKF

شکل ۷ میزان متوسط خطأ در ۸۰ مرحله زمانی، در قسمت (الف) برای الگوریتم صافی ذره و در قسمت (ب) برای صافی کالمن پیشرفتہ نشان می‌دهد. متوسط میزان خطأ در الگوریتم صافی ذره تقریباً ۳ برابر کمتر از الگوریتم صافی کالمن پیشرفتہ می‌باشد.

برای شبیه‌سازی ردیابی یک جسم با مانور زیاد در تصویر بر اساس الگوریتم بازنمونه‌برداری صافی ذره از فیلم هوایی جنگنده F22 با ۱۷۰۳ فریم، استفاده شده است. به دلیل مانورهای تصادفی، حرکت-

جدول ۳. مولفه های تعیین کننده موقعیت جسم در ۱۷۰۳ فریم

B	مولفه	G	مولفه	R	مولفه
۱۳۹	۶۹۱		۸۷۳		تعداد کل فریم های استفاده شده از مولفه های رنگی

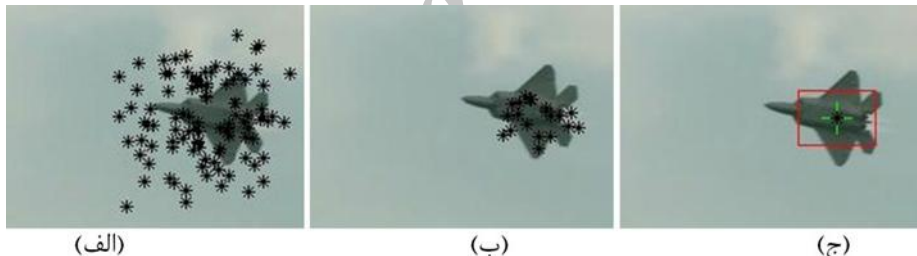
مرحله بازنمونه برداری را نشان می دهد و در قسمت (ج) تخمین موقعیت جسم در فریم بعدی با توجه به معادله (۲۶) نشان داده شده است. جدول ۳ تعداد مرتبه هایی که هر مولفه رنگی جهت تخمین موقعیت جسم در ۱۷۰۳ فریم ویدیویی، استفاده شده است را نشان می دهد.

شکل ۱۰ نمونه ای از تغییرات شعاع کرنل در برخی فریم ها را نمایش می دهد. همان طور که مشاهده می شود و طبق معادله (۲۶) نشان داده شده است، هدف را می باید و در برابر چرخش هدف مقاوم می باشد، چرا که چرخش هدف می تواند با تغییر شکل، تغییر رنگ (یا سطح خاکستری) و تغییر اندازه هدف همراه باشد که هر کدام از آنها به نوبه خود مشکل سازند و این الگوریتم مقاومت بالایی در برابر این چرخش ها دارد.

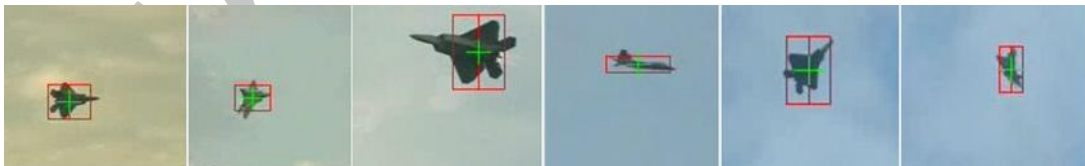
مشاهده با معادله (۳۶)، ذرات کاندید هر مولفه رنگی را وزن دار می نماید. الگوریتم بازنمونه برداری در هر مولفه رنگی، برای بدست آوردن مجموعه ای از ذرات جدید بوده که در طول آن ذراتی که وزن بیشتر دارند، چندین بار انتخاب شده و آنها باید که وزن کمتری دارند حذف می شوند، لذا ذرات وزن پایین در موقعیت ذرات وزن بالا قرار می گیرند.

ابتکار این مقاله برای تعیین موقعیت جسم در فریم جاری، استفاده از میزان وزن هر یک از مولفه های رنگی است و هر مولفه ای که متوسط وزن بالاتری داشت به عنوان مولفه تعیین کننده موقعیت جسم در آن فریم شود و طبق معادله (۲۶) موقعیت جسم در آن فریم، از مولفه رنگی به دست می آید. بنابراین تخمین موقعیت نهایی با یک مولفه رنگی صورت گرفته که زمان پردازش را نسبت به سناریوی مطرح شده در [۱۱] تا $3^{۱}$ برابر کاهش می دهد.

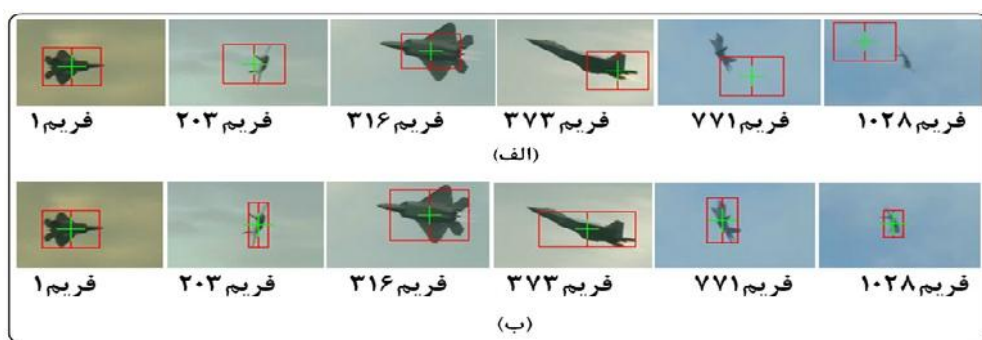
شکل ۹ در قسمت (الف) نحوه پراکندگی ذرات با توجه به واریانس سه برابر پنجره احاطه کننده هدف جهت تعیین موقعیت جسم در فریم بعدی را نشان می دهد و در قسمت (ب) نحوه تغییر مکانی ذرات با وزن کمتر به موقعیت ذرات با وزن بیشتر در



شکل ۹. (الف) مرحله پراکندگی ذرات (ب) تغییر موقعیت ذرات بعد از مرحله بازنمونه برداری (ج) تخمین نهایی موقعیت هدف

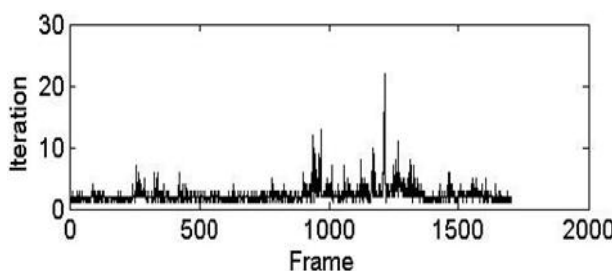


شکل ۱۰. تغییرات وفقی شعاع کرنل متناسب با ابعاد هدف



شکل ۱۱. ردیابی در فریم های منتخب با شعاع کرنل ثابت و شعاع کرنل وفقی

شکل ۱۴ نیز تعداد مراحل بازنمونهبرداری مولفه رنگی انتخاب شده برای تعیین موقعیت در هر فریم را با توجه به وفقی بودن شاعع کرنل در فضای RGB نمایش می‌دهد که متناسب با تغییرات شاعع کرنل این مرحله نیز به صورت وفقی تغییر می‌کند و نقش بسزایی در کاهش زمان پردازش دارد. پایین بودن مراحل بازنمونهبرداری در هر فریم، تعیین مکان جسم به صورت بلادرنگ را توسط الگوریتم مطرح شده نشان می‌دهد. اگر جسم در فریمی از دست برود این تعداد مراحل حتی تا بیشتر از ۱۰۰ مرحله نیز می‌رسد، که در این صورت زمان زیادی جهت تعیین موقعیت در آن فریم از دست می‌رود و الگوریتم از حالت بلادرنگ خارج می‌گردد.



شکل ۱۴. تعداد مراحل بازنمونهبرداری برای تعیین موقعیت در هر فریم با وفقی بودن شاعع کرنل در فضای RGB

در جدول ۴ مدت زمان پردازش برخی فریم‌های منتخب در شکل ۱۱ با دو الگوریتم شاعع کرنل ثابت و شاعع کرنل وفقی، به‌صورت کمی با یکدیگر مقایسه شده است.

جدول ۴. مقایسه زمان پردازش در برخی فریم‌های منتخب با دو الگوریتم

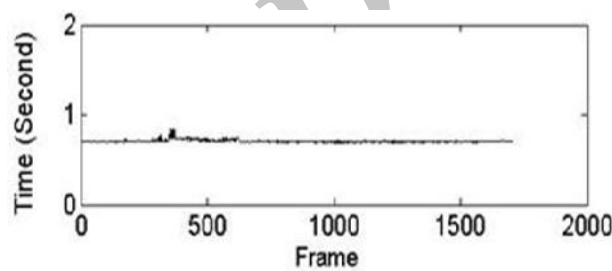
فریم ۱۰۲۸	فریم ۷۷۱	فریم ۳۷۳	فریم ۳۱۶	فریم ۲۰۳	فریم ۱	
۷۴۵	۶۸۰	۷۹۱	۷۱۷	۷۱۱	۷۰۲	مدت زمان (میلی ثانیه) بدون وفقی بدون شاعع کرنل
۵۰۳	۱۰۱	۱۱۹	۱۰۳	۱۲۳	۱۱۲	مدت زمان (میلی ثانیه) با وفقی بودن شاعع کرنل

۹. نتیجه‌گیری

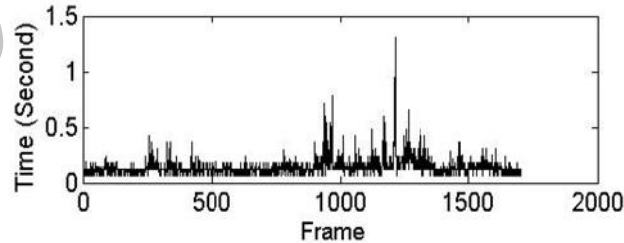
مسئله دقت و کاهش میزان زمان پردازش تشخیص و ردیابی موقعیت اهداف متحرک در تصویر از مسائل مهم در پردازش تصاویر رنگی محسوب می‌گردد که گاه مطابق با نوع ماموریت یکی بر دیگری ترجیح داده می‌شود. در این مقاله با انتخاب کرنل گوسی، هیستوگرام

در مرحله بازنمونهبرداری با تکرار ثابت ۱۵ مرتبه بدون تغییر شاعع کرنل و با واریانس $\sigma = 0.2$ همان‌طور که در شکل (۱۱-الف) دیده می‌شود، در برخی فریم‌ها (از جمله فریم ۱۰۲۸) هدف از دست می‌رود ولی هنگامی که شاعع کرنل و مرحله بازنمونهبرداری متناسب با آن، به صورت وفقی مطابق با شکل (۱۱-ب) تغییر می‌کند، هدف در کلیه فریم‌ها محفوظ می‌ماند.

شکل ۱۲ تغییرات زمان در هر فریم را با تعداد مراحل بازنمونه‌برداری ثابت ۱۵ مرتبه (برای از دست ندادن هدف)، بدون تغییر شاعع کرنل نشان می‌دهد.



شکل ۱۲. تغییرات زمان در هر فریم بدون وفقی بودن شاعع کرنل و تعداد تکرار بازنمونهبرداری ثابت



شکل ۱۳. مدت زمان پردازش هر فریم با وفقی بودن شاعع کرنل در فضای RGB

زمان متوسط این مرحله، ۷۱۳ میلی ثانیه در هر فریم در طول ۱۷۰۳ فریم می‌باشد، کمترین زمان پردازش ۶۴۲ میلی ثانیه بوده و هنگامی که جسم در برخی فریم‌ها از دست می‌رود، تا یافتن مجدد آن، این زمان تا ۸۸۷ میلی ثانیه نیز می‌رسد.

شکل ۱۳ مدت زمان پردازش هر فریم را در شرایط وفقی بودن شاعع کرنل نشان می‌دهد، بنابراین با توجه به وفقی شدن شاعع کرنل و نیز وفقی شدن تعداد مراحل بازنمونهبرداری در این مقاله، متوسط زمان پردازش فریم‌ها به ۱۳۶ میلی ثانیه کاهش یافته است. یعنی به حدود ۵ برابر کاهش زمان پردازش نسبت به ثابت بودن شاعع کرنل در شکل ۱۲ دست یافته‌ایم.

- [5] Hlinka. O, Slu'ciak. O, Hlawatsch. F, Djurić. P. M, and Rupp. M, "Likelihood consensus and its application to distributed particle filtering." Available online: arXiv:1108.6214v1 [stat.AP], Aug. 2011.
- [6] Pocock. J, Dance. S, and Lawless. A, "State estimation using the particle filter with mode tracking" Comput. Fluids, vol. 46, no.1, pp.392–397, Jul. 2011.
- [7] Gao. M, Zhang. H, "Sequential Monte Carlo methods for parameter estimation in nonlinear state-space models" in Proc. ScienceDirect, March. 2012.
- [8] Doucet. A, Godsill. S, and Andrieu. C, "Sequential Monte Carlo Sampling Methods for Bayesian Filtering" Journal Statistics and Computing, Vol. 10, No. 3, pp.197–208, 2000.
- [9] Han. B, "Adaptive Kernel Density Approximation and its Applications to RealTime Computer Vision" Doctor of Philosophy Dissertation, 2005.
- [10] Cheng. Y, "Mean shift, mode seeking, and clustering" IEEE Trans. on Patt. Anal. and Mach. Intell. 17 (8) 790–799, 1995.
- [11] Sugandi. B, Kim. H, Tan. J. K and Ishikawa. S, "Object Tracking Based on Color Information Employing Particle Filter Algorithm" in Object Tracking, Dr. Hanna Goszczynska (Ed.), ISBN: 978-953-307-360-6, 2011.
- [12] del Blanco. C. R, "Visual Object Tracking in Challenging Situations using a Bayesian Perspective" Ph.D. Thesis, Tesis Doctoral, 2010.
- [13] Comaniciu. D, Ramesh. V and Meer. P, "Kernel-Based Object Tracking" IEEE Trans. PAMI, v. 25, pp. 564-575, 2003.
- [14] Collins. R. T, "Mean-shift Blob Tracking through Scale Space" Computer Vision and Pattern Recognition (CVPR'03), IEEE, June. 2003.
- [15] Liang. D. D, Huang. Q, Jiange. S, Yao, Gao. W," MeanShift Blob Tracking With Adaptive Feature Selection And Scale Adaptation" in Proc. IEEE, 2007.
- [16] Han. H, Ding. Y.Sh, Hao. K.R, Liang. X, "An evolutionary particle filter with the immune genetic algorithm for intelligent video target tracking" College of Information Sciences and Technology, Donghua University, 2011.
- [17] Afonso. M, "Particle Filter and Extended Kalman Filter for Nonlinear Estimation: A Comparative" IEEE, 2008.

وزن دارشده مولفه های رنگی به عنوان مدل هدف در نظر گرفته شده است. نتایج حاصل از ردیابی در سناریوهای مختلف الگوریتم مطرح شده نشان می دهد با تخمین موقعیت نهایی توسط یکی از مولفه های رنگی، زمان پردازش نسبت به سناریوی مطرح شده در مرجع [11] تا سه برابر کاهش یافته است.

همچنین با وقیعی سازی شعاع کرنل مناسب با ابعاد هدف و نیز تغییرات وقیعی تعداد مراحل بازنمونه برداری مناسب با وزن ذرات نمونه، این زمان تا حدود پنج برابر کاهش یافته و متوسط زمان پردازشی هر فریم با تعداد ۱۰۰ ذره، ۱۳۶ میلی ثانیه شده است. از طرفی الگوریتم مطرح شده، ردیابی جسم متحرک با حرکت های تصادفی و تغییرات مداوم مدل هدف در ۱۷۰۳ فریم ویدئویی را بدون از دست دادن جسم در هیچ فرمی، به صورت بلادرنگ انجام داده است. همچنین نشان داده شد که در شرایط غیرخطی حرکت جسم، می توان با استفاده از الگوریتم صافی ذره به دقیقی در حدود سه برابر الگوریتم صافی کالمن پیشرفتی دست یافت.

روش بررسی شده در مقاله بر اساس الگوریتم بازنمونه برداری صافی ذره و بهره گیری از تخمین چگالی کرنل گوسی با شعاع متغیر جهت بدست آوردن هیستوگرام وزن دارشده مولفه های رنگی مدل هدف و مدل ذرات کاندید، در نرم افزار متلب شبیه سازی شده و در شرایط مختلف از جمله وجود تغییرات بزرگ در اندازه هدف، بروز تغییرات تصادفی در جهت حرکت آن و همچنین حرکات ناگهانی چرخشی، مورد ارزیابی قرار گرفت که نتایج بدست آمده حاکی از پایداری الگوریتم در برابر این شرایط مذکور می باشد.

۱۰. مراجع

- [1] Ristic. B, Arulampalam. S, and Gordon. N, "Beyond the Kalman Filter , Particle Filters For Tracking Applications" Artech House, Boston,london, 2004.
- [2] Doucet. A, Freitas. N. D, and Gordon. N, "Sequential Monte Carlo methods in practice" New York, NY: Springer, 2001.
- [3] Li. M, Tan. T, Chen. W, and Huang. K, "Efficient Object Tracking by Incremental Self-Tuning Particle Filtering on the Affine Group" in Proc. IEEE, March. 2012.
- [4] Hlinka. O, Hlawatsch. F, and Djurić. P. M, "Likelihood consensus-based distributed particle filtering with distributed proposal density adaptation" Available online: arXiv:1109.6191v1 [stat.AP], Sep. 2011.